

模拟溶液中 Mn 对 Zn 腐蚀的作用机制

周海波^{1,2}, 张波^{2*}, 朱丽娟¹, 王俭秋², 韩恩厚², 柯伟²

1. 沈阳理工大学, 沈阳 110168; 2. 中国科学院金属研究所 金属腐蚀与防护国家重点实验室, 沈阳 110016

摘要:采用动电位极化、扫描电镜(SEM)和X光电子能谱分析(XPS)等技术研究了含0.4mass% Mn的Zn-0.4Mn合金在模拟海洋大气环境溶液(0.1 mol/L NaCl + 0.1 mol/L Na₂SO₄ + 0.01 mol/L NaHCO₃)中的腐蚀行为。结果表明,Zn和Zn-0.4Mn合金上的腐蚀产物均以ZnO和Zn₅(CO₃)₂(OH)₆为主,但Zn-0.4Mn表层有更多的Zn₅(CO₃)₂(OH)₆。Mn的作用是使腐蚀产物致密,并促进耐蚀腐蚀产物(Zn₅(CO₃)₂(OH)₆)的形成,从而显著提高Zn在此溶液中的耐蚀性能。

关键词:Zn合金; Mn元素; 腐蚀; XPS

中图分类号:TG172.3 文献标识码:A 文章编号:1002-6495(2008)06-0395-05

EFFECT OF Mn ON CORROSION BEHAVIOR OF Zn IN A SIMULATED SOLUTION FOR MARINE ATMOSPHERE

ZHOU Hai-bo^{1,2}, ZHANG Bo², ZHU Li-juan¹, WANG Jian-qiu², HAN En-hou², KE Wei²

1. Shenyang Ligong University, Shenyang 110168;

2. State Key Laboratory for Corrosion and Protection, Institute of Metal Research, Chinese Academy of Sciences, Shenyang 110016

Abstract: The corrosion behavior of Zn-Mn alloy (containing 0.4mass% Mn) in a simulated solution for marine atmosphere environment (0.1 mol/L NaCl + 0.1 mol/L Na₂SO₄ + 0.01 mol/L NaHCO₃) has been studied by potentiodynamic polarizations, scanning electron microscopy (SEM) and X-ray photoelectron spectroscopy analysis (XPS). The results indicate that the main corrosion products of both Zn and Zn-0.4Mn alloy are zinc oxide (ZnO) and hydroxycarbonate (Zn₅(CO₃)₂(OH)₆). However more hydroxycarbonate is detected in the out layer of corrosion films on Zn-0.4Mn alloy. Mn can significantly increase the corrosion resistance of Zn through the mechanism that it can produce a more compact film and promote the formation of zinc hydroxycarbonate (Zn₅(CO₃)₂(OH)₆) a corrosion product with better protectiveness in the solution.

Keywords: Zn alloy; Mn addition; corrosion; XPS

文献报道加入较高含量(>1.5mass%)的合金元素能提高Zn的耐蚀性能^[1-9]。主要作用机制有:脱Zn机制^[1];影响氧化膜的电子和离子传输^[2,3];改变Zn基体的组织结构^[4,5]以及形成耐蚀的腐蚀产物^[6,10]。Boshkov^[10,11]研究表明含11% Mn的ZnMn合金比纯Zn更耐蚀,并发现Mn能促进形成腐蚀产物Zn₅(OH)₈Cl₂·H₂O,而腐蚀产物Zn₅(OH)₈Cl₂·H₂O比ZnO致密,因而有利于抑制腐蚀。Zn主要用于热镀锌工业,在热镀锌工艺中,由于受到合金元素在Zn液中(热镀温度为450℃)固溶度的限制^[12],通常能添加到Zn液中的合金含量十分有限(一般小于1.5mass%)。因此研究低含量合金元素对Zn腐蚀的影响对提高热镀锌耐蚀性能具有实

际意义。最近我们报道^[9,13]在模拟大气腐蚀的溶液中加入少量的Mn(0.4%)能提高腐蚀产物的致密性,并能显著提高线性极化电阻。Diaz-Ballote等^[14]动电位极化实验也表明,0.4% Mn能提高Zn的耐蚀性。

为了进一步弄清Mn的作用机制,我们采用电化学动电位极化和XPS表面分析技术对Zn-0.4% Mn合金在模拟大气腐蚀的溶液中的腐蚀行为进行了研究。

1 实验方法

实验材料为99.995mass%工业纯Zn和含量为0.4mass% Mn的Zn-0.4Mn合金。材料的化学成分见表1。两种材料均通过铸造方法获得,浇铸后在空气中冷却。试样经线切割机切取后,一面焊上导线并用环氧树脂封装,工作面积为1 cm²。腐蚀实验前采用金刚石水磨砂纸将试样逐级打磨至3000#,最后用1 μm金刚石研磨膏精抛。腐刻液为分析纯试剂配置(20gCrO₃, 1.5gNa₂SO₄和100 ml去离子水)。

电化学测试采用EG&G PAR Model 273A恒电位仪测量

收稿日期:2008-05-14 初稿;2008-06-10 修改稿

基金项目:国家自然科学基金重大项目(No. 50499336-4)

作者简介:周海波(1982-),男,硕士研究生,研究方向为金属材料工程。

* Tel:024-23915897 E-mail:bxz011@imr.ac.cn

Table 1 Chemical compositions of Zn alloys (mass%)

成分	Mn	Pb	Cu	Fe	Sn
Zn	-	0.005	0.001	<0.001	<0.001
Zn-0.4Mn	0.4	0.005	0.001	<0.001	<0.001

系统。选用三电极系统,辅助电极为铂片,参比电极为饱和甘汞电极(SCE)。实验溶液为海洋大气环境模拟溶液 0.1 mol/L NaCl + 0.1 mol/L Na₂SO₄ + 0.01 mol/L NaHCO₃(pH 8.4),所有溶液均采用分析纯试剂和去离子水(18 MΩ·cm)配制。试样浸入海洋大气环境模拟溶液中 72 小时后以 1 mV/s 的速率进行动电位扫描。阴极极化从自腐蚀电位扫描至 -1.2 V (SCE),阳极极化从自腐蚀电位扫描至 -0.8 V (SCE)。在模拟溶液中浸泡 72 小时后的腐蚀形貌采用 ESEM XL30 FEG 型扫描电子显微镜(SEM)观察。采用美国 Thermo VG 公司的化学分析电子仪(ESCALAB250)对浸泡 72 小时后腐蚀产物膜进行了 XPS 和元素深度分布分析。其中,Al 靶(AlK, 1486.6 eV)为 X-射线光源,功率为 150 W,光点直径为Φ500 μm,能量分析通过能为 50 eV,能量步长为 0.05 eV。XPS 峰值采用 XPSPEAK4.1 软件确定,所有结合能数据均以 C1s(284.6 eV)进行了标定。元素深度分布测量采用 Ar⁺溅射方法,溅射面积为 2 mm × 2 mm,离子枪轰击能量为 2 kV,样品电流为 2 μA。

2 结果与讨论

2.1 微观结构

纯锌和含 0.4 mass% Mn 的锌合金腐刻后的显微结构如图 1 所示。加入少量的 Mn 后,SEM/EDX 分析表明大部分 Mn 固溶在 Zn-0.4Mn 的 Zn 基体中(SEM 的分辨尺度),但也发现有少量富 Mn 合金相在 Zn-0.4 Mn 上析出(图 1b)。

2.2 动电位极化曲线

锌合金在模拟溶液中浸泡 72 小时后腐蚀形貌的 SEM 照片如图 2 所示,Zn 表面的腐蚀产物膜较为疏松,而 Zn-0.4Mn 上形成的腐蚀产物膜却较为致密。这个结果表明,Mn 的加入能提高腐蚀产物的致密性。

锌合金在模拟溶液中浸泡 72 小时后的动电位阴极极化曲线如图 3a 所示,可以看出 Zn-0.4Mn 阴极极化电流密度比 Zn 上的低,由于析氢反应在 Zn 上的交换电流很低,此时的阴极反应主要以氧还原反应为主,这个结果表明加入 Mn 后形成的产物膜能阻碍氧的还原反应。动电位阳极极化曲线如图 3b 所示,Zn-0.4Mn 上阳极极化电流密度明显比 Zn 低,表明加入 Mn 后形成的产物膜对 Zn 的阳极溶解有较大抑制作用。由此可见致密的腐蚀产物膜(图 2)对 Zn 的阳极和氧还原反应均有抑制作用。由于 Mn 能使产物膜致密,因此 Mn 能显著提高 Zn 在模拟溶液中的耐蚀性。

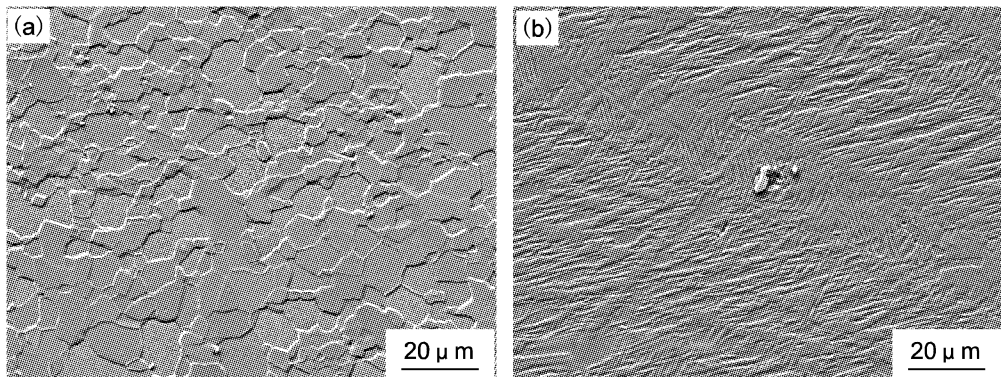


Fig. 1 Microstructure of Zn (a) and Zn-0.4Mn (b)

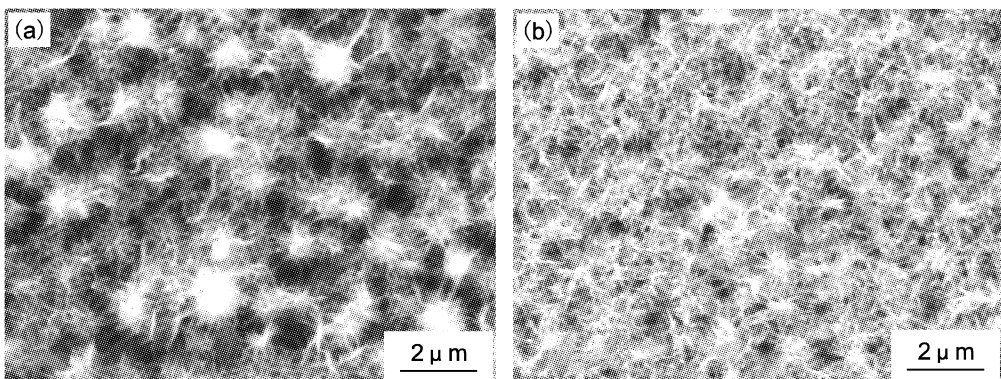


Fig. 2 Corrosion morphologies of Zn (a) and Zn-0.4Mn (b) after 72 h immersion in 0.1 mol/L NaCl + 0.01 mol/L NaHCO₃ + 0.1 mol/L Na₂SO₄ solution

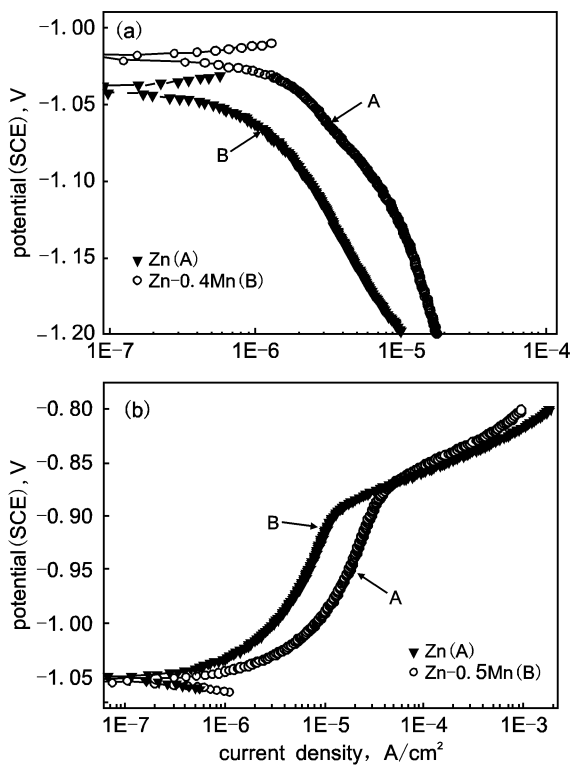


Fig. 3 Potentiodynamic anodic (a) and cathodic (b) polarization curves of Zn and Zn-0.4Mn after 72 h immersion in 0.1 mol/L NaCl + 0.01 mol/L NaHCO₃ + 0.1 mol/L Na₂SO₄ solution with scan rate of 1 mV/s

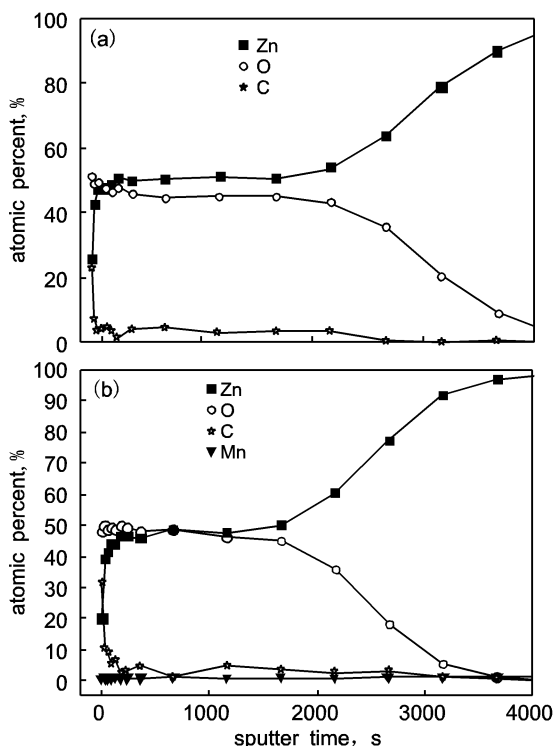


Fig. 4 Depth profiles of elements of Zn (a) and Zn-0.4Mn (b) after 24 h immersion in 0.1 mol/L NaCl + 0.01 mol/L NaHCO₃ + 0.1 mol/L Na₂SO₄ solution

3.3 XPS 分析

为了对 Mn 的腐蚀作用机制进行更深入的了解,我们对 Zn 和 Zn-0.4Mn 表层上形成的腐蚀产物膜进行了 XPS 分析。O, Zn, C 和 Mn 元素在腐蚀产物膜中的分布情况见图 4, 可以看出两种材料上的腐蚀产物膜的 Zn 与 O 原子百分比接近 1, 表明腐蚀产物膜可能以 ZnO 为主。根据 C 峰的结合能数据(图 5)可以看出 Zn 和 Zn-0.4Mn 所对应的 C1s 结合能峰有两个, 其中一个与污染 C 的标准峰(284.6 eV)对应, 而另外一个 C1s 峰则是腐蚀产物膜中含碳化合物所引起的。这个结果表明腐蚀产物膜除 ZnO 外, 还有含 C 的化合物存在。为了确定该产物, 根据 XPS 谱的数据结果将 O 1s、Zn 2p2/3、Zn LMM 和 C1s 峰的结合能数据列于表 2, 可见两种材料产物膜的 Zn 2p2/3 和 Zn LMM 均与文献报道的 ZnO 和 Zn₅(CO₃)₂(OH)₆ 结合能数据对应, 此外 C1s 峰也与 Zn₅(CO₃)₂(OH)₆ 的 C1s 结合能数据对应。由此可知, Zn 和 Zn-0.4Mn 表面腐

Table 2 Binding energies of Zn and its compounds

	ZnO	ZnCO ₃	Zn(OH) ₂	Zn ₅ (CO ₃) ₂ (OH) ₆	experimental value(0s)	Zn	Zn-0.4Mn
Zn 2p BE	1022.1 ^[14]	1022.5 ^[15]	1022.8 ^[15]	1021.7 ^[17]	1021.95	1022	
Zn LMM BE	498.6 ^[14]	499.3 ^[15]	500.2 ^[15]	498.6 ^[17]	499	498.9	
O 1s BE	530.2 ^[16]	531.7 ^[6]	n/a	n/a	530.3	530.4	
C 1s BE	-	289.6 ^[6]	-	289.1 ^[17]	289.35	289.05	

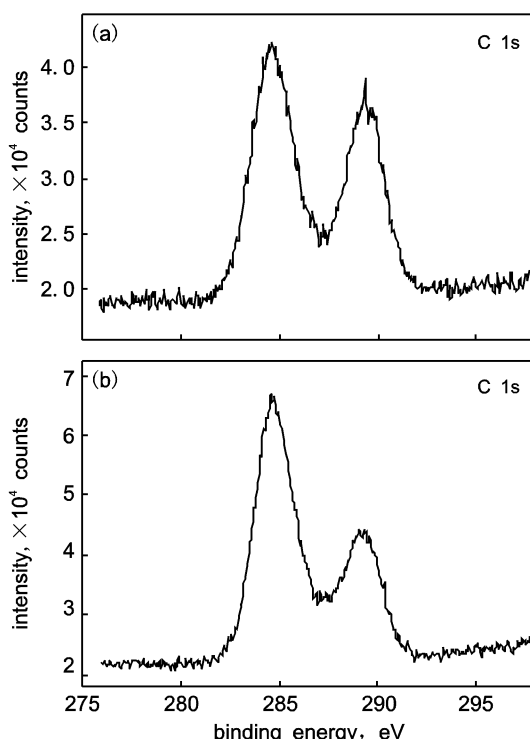


Fig. 5 High-resolution XPS C1s energy window for Zn (a) and Zn-0.4Mn (b) after 24 h immersion in solution(0.1 mol/L NaCl + 0.01 mol/L NaHCO₃ + 0.1 mol/L Na₂SO₄), sputtering time 0s

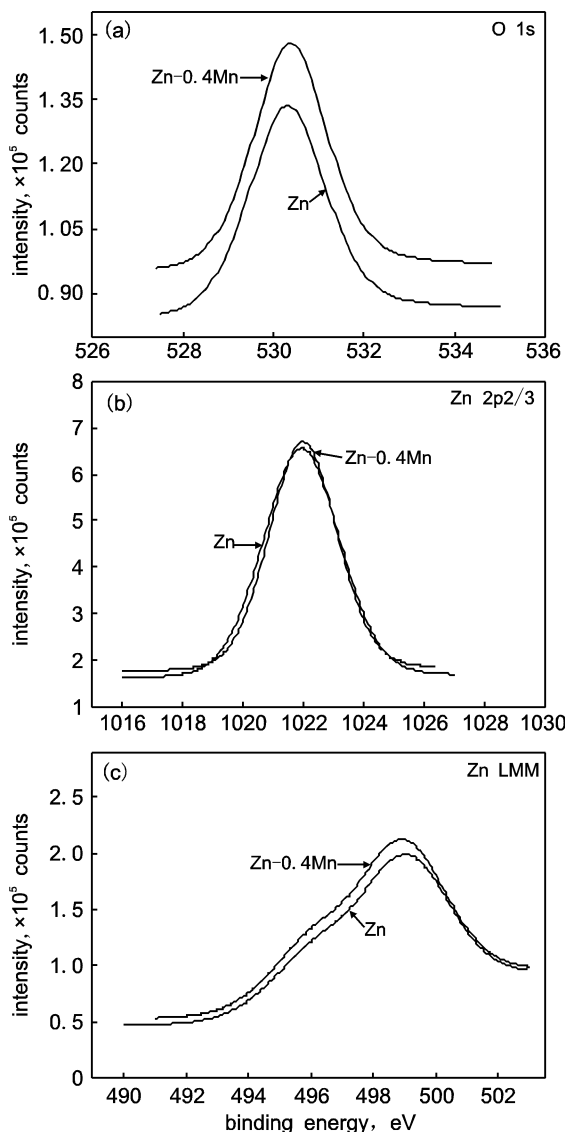


Fig. 6 High-resolution XPS energy window for Zn and ZnMnO₄ after 24 h immersion in solution (0.1 mol/L NaCl + 0.01 mol/L NaHCO₃ + 0.1 mol/L Na₂SO₄): (a) O 1s, (b) Zn 2p3/2 and (c) Zn LMM Auger signal. Sputtering time is 0 s

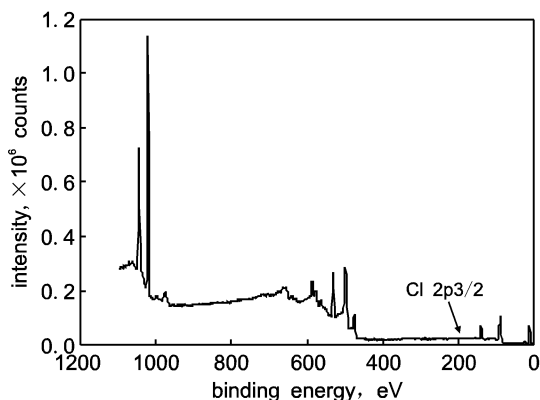


Fig. 7 XPS survey of corrosion film on Zn after 24h immersion in solution (0.1 mol/L NaCl + 0.01 mol/L NaHCO₃ + 0.1 mol/L Na₂SO₄)

Table 3 Atom ratios of elements in the corrosion films formed on Zn and Zn-0.4Mn after sputtering time of 60 s

		ZnO	Zn ₅ (CO ₃) ₂ (OH) ₆
Zn	calculated value	92.66%	7.34%
	O:Zn:C calculated measured	49.85:47.8:2.35 49.3:47.25:3.45	
Zn-0.4Mn	calculated value	72.53%	27.47%
	O:Zn:C calculated measured	49.45:41.76:7.99 48.6:41.5:9.1	

蚀产物膜主要以 ZnO 和 Zn₅(CO₃)₂(OH)₆ 为主。这两种产物均为大气腐蚀初期的主要产物^[7]。此外,用 Ar⁺溅射分析了膜的厚度,若以 O 含量快速降低点为膜与基体的界面,则 Zn 表面腐蚀产物膜溅射时间约为 2160 秒,Zn-0.4Mn 约为 1660 秒,由此可知 Zn 表面形成的产物膜比较厚,这与 SEM 观察到的 Zn-0.4Mn 表面的腐蚀产物膜致密的结果相吻合。

进一步分析发现,Zn-0.4Mn 表层的 C 含量比 Zn 高。为了消除表面污染 C 的影响,对溅射 60 秒产物膜中的 C 原子比进行了对比,发现 Zn-0.4Mn 表面 C 含量为 9.1at.%,而 Zn 表面 C 含量为 3.45at.%。由此可以计算得出 Zn 和 Zn-0.4Mn 表面腐蚀产物膜中 ZnO 和 Zn₅(CO₃)₂(OH)₆ 的原子百分比含量(表 3)。Zn-0.4Mn 表层的 Zn₅(CO₃)₂(OH)₆ 含量为 27.47%,远高于 Zn 表层的含量 7.34%。不过 Zn-0.4Mn 整体膜层中 C 含量总平均值只比 Zn 略高,分别为 4.6 ± 1.2% 和 4.0 ± 0.55%。这些结果表明 Mn 能促进表层产物 Zn₅(CO₃)₂(OH)₆ 的形成。此外根据图 4b 的元素深度分布可知,Zn-0.4Mn 合金在溅射时间 60s 层的腐蚀产物膜中含有 1.2at% 左右的 Mn,可以推测腐蚀产物膜中有 Mn²⁺ 存在。

3.4 讨论

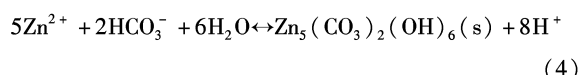
Zn 在近中性溶液中的电化学腐蚀反应^[7]为:



在模拟溶液中(pH8.4),Zn 阳离子和 OH⁻ 离子可进一步反应生成 Zn(OH)₂ 和 ZnO,总的反应如下:



Zn 阳离子也可能与 HCO₃⁻ 反应,按下式生成 Zn₅(CO₃)₂(OH)₆。



根据以上反应机理,从理论上可以预计 Zn 在模拟溶液中腐蚀产物将以 ZnO 和 Zn₅(CO₃)₂(OH)₆ 为主,这与实验观察到的结果一致。文献报道^[11],Mn 会促进 Zn₅(OH)₈Cl₂ · H₂O 的形成,然而 XPS 分析表明(图 7)Zn 上的腐蚀产物中均不含 Cl⁻(没有发现 Cl 2p3/2 峰,这里只给出 Zn 的结果,Zn-0.4Mn 同),由此可以判定腐蚀产物膜中不含有 Zn₅(OH)₈Cl₂ · H₂O。

Mn 的加入主要改变了膜的致密性(图 2)并能显著提高

耐蚀性(图3).根据XPS和SEM观察到的结果,我们提出Mn的作用机制如下:

1. 提高ZnO的形核率. XPS分析发现,一定量的Mn²⁺可能是以掺杂形式存在于ZnO膜中. 在这种情况下,Mn²⁺替代ZnO晶体中的Zn²⁺将会使ZnO晶格发生畸变^[18]. 由于能有效降低ZnO的形核能,畸变的ZnO颗粒易成为形核中心,从而能提高ZnO形核率.

2. 维持或提高产物孔隙中的pH. Boshkov^[10,11]认为Mn的作用主要是它能改变Zn表面pH. Mn的反应如下^[11]:



由于析氢反应在Zn基体上的交换电流密度很小^[7],可以预计在自腐蚀电位下(约-1.0V_{SCE})反应(6)在Zn基体上的速度会很慢,这就要求Mn的加入后会促进阴极反应(6),文献^[19]的报道支持了这个观点. 由于反应(6)不需要O₂,因此可以直接在孔隙内进行反应,避免大阴极小阳极的现象,延缓闭塞电池效应,从而能提高或维持孔隙中的pH,减少局部腐蚀的倾向. 反应(5)和(6)总的结果是使孔隙中富有Mn²⁺和OH⁻,这为ZnO和Zn₅(CO₃)₂(OH)₆在孔隙处形成提供条件,因而能有效提高膜的致密性. 从热力学看Zn₅(CO₃)₂(OH)₆只有在中性溶液才稳定^[7],因此Zn-0.4Mn合金中Zn₅(CO₃)₂(OH)₆有较高的含量应该是Mn对pH的平衡作用所致.

3. Mn优先溶解抑制Zn的阳极溶解速度. Mn的电化学活性比Zn高,腐蚀过程中Mn易发生优先阳极溶解从而保护Zn,但Mn的含量很低,这种作用的效果应该很有限的.

综上所述,Mn的作用机制可能是促进ZnO的形核并能维持或提高孔隙中的pH值,使得ZnO产物膜更加致密并促进Zn₅(CO₃)₂(OH)₆的生成,从而通过抑制离子的传输提高耐腐蚀性能.

4 结论

1. Zn和Zn-0.4Mn合金上的腐蚀产物主要为ZnO和Zn₅(CO₃)₂(OH)₆,Zn-0.4Mn表层的Zn₅(CO₃)₂(OH)₆含量较高一些,而内层两种材料的C含量差别不大;

2. 0.4% Mn使Zn在海洋大气环境模拟溶液中形成的产物致密并提高其耐蚀性能,其作用机制可能是促进ZnO的形核并能维持或提高孔隙中的pH值.

参考文献:

- [1] N R Short, A Abibsi, J K Dennis. Corrosion resistance of electroplated zinc alloy coatings [J]. Trans. Inst. Met. Finish., 1989, 67 (part 3): 73.
- [2] A E Bohe, J R Vilche, K Jüttner, et al. An electrochemical impedance spectroscopy study of passive zinc and low alloyed zinc electrodes in alkaline and neutral aqueous solutions [J]. Corros. Sci., 1991, 32 (5-6): 621.
- [3] M A Pech-Canul, R Ramanauskas, L Maldonado. An electrochemical investigation of passive layers formed on electrodeposited Zn and Zn-alloy coatings in alkaline solutions [J]. Electrochim. Acta, 1997, 42 (2): 255.
- [4] R Ramanauskas, P Quintana, L Maldonado, et al. Corrosion resistance and microstructure of electrodeposited Zn and Zn alloy coatings [J]. Surf. Coat. Technol., 1997, 92 (1-2): 16.
- [5] R Ramanauskas. Structural factor in Zn alloy electrodeposit corrosion [J]. Appl. Surf. Sci., 1999, 153 (1): 53.
- [6] N C Hosking, M A Ström, P H Shipway, et al. Corrosion resistance of zinc-magnesium coated steel [J]. Corros. Sci., 2007, 49 (9): 3669.
- [7] X G Zhang. Corrosion and electrochemistry of zinc [M]. New York: Plenum Press, 1996. 145.
- [8] Leidheiser H, Suzuki I. Towards a more corrosion resistant galvanised steel [J]. Corrosion, 1980, 36 (12): 701.
- [9] B Zhang. Development of Corrosion Resistant Galvanising Alloys [D]. Birmingham: The University of Birmingham, 2005. 89.
- [10] N Boshkov. Galvanic Zn-Mn alloys-electrodeposition, phase composition, corrosion behaviour and protective ability [J]. Surf. Coat. Technol., 2003, 172 (2-3): 217.
- [11] N Boshkov, K Petrov, D Kovacheva, et al. Influence of the alloying component on the protective ability of some zinc galvanic coatings [J]. Electrochim. Acta, 2005, 51 (1): 77.
- [12] M Hansen, R Elliott P, F A Shunk. Constitution of Binary Alloys [M]. New York: McGraw-Hill, 1958.
- [13] 李红, 张波, 王俭秋, 等. 合金元素Sb和Mn对Zn腐蚀的影响 [J]. 中国腐蚀与防护学报, 2008, 18 (5): 257.
- [14] D Briggs, M P Seah. Practical Surface Analysis by Auger and X-ray Photoelectron Spectroscopy [M]. Chichester: Wiley & Sons, 1983. 477.
- [15] L S Daké, D R Baer, J M Zachara. Auger parameter measurements of zinc compounds relevant to zinc transport in the environment [J]. Surface and Interface Analysis, 1989, 14: 71.
- [16] V I Nefedov, M N Firsov, I S Shaplygin. Electronic structures of MRhO₂, MRh₂O₄, RhMO₄ and Rh₂MO₆ on the basis of X-ray spectroscopy [J]. Journal of Electron Spectroscopy Related Phenomena, 1982, 26 (1): 65.
- [17] G Moretti, G Fierro, M Lo Jacono, et al. Characterization of CuO-ZnO catalysts by X-ray photoelectron spectroscopy: precursors, calcined and reduced samples [J]. Surface and Interface Analysis, 1989, 14: 325.
- [18] W Chen, J Wang, M Wang. Influence of doping concentration on the properties of ZnO: Mn thin films by sol-gel method [J]. Vacuum, 2007, 81: 894.
- [19] T S Lee. Hydrogen overpotential on zinc containing small amounts of impurities in concentrated alkaline solution [J]. J. Electrochem. Soc., 1973, 120 (6): 707.